



Z120-H824.11 S11W2V

Cambio pneumatico del cono

Articolo **10408024**

Mandrino HF per frese ad alta velocità, per rettifica, foratura, incisione

Cuscinetti

| | |
|-----------------------------------|-----------------|
| Cuscinetti ibridi a sfere (pezzo) | 4 |
| Lubrificazione a vita | non manutentivo |

Motore

| | |
|---|---|
| Tecnologia del motore | Azionamento asincrono a 3 fasi (senza spazzole né sensori) |
| Frequenza | 800 HZ |
| Numero poli motore (coppie) | 2 |
| Regime di rotazione nominale | 24.000 giri/min |
| Valore di accelerazione/ decelerazione Al secondo | 10 000 giri/min (altri valori su richiesta) |

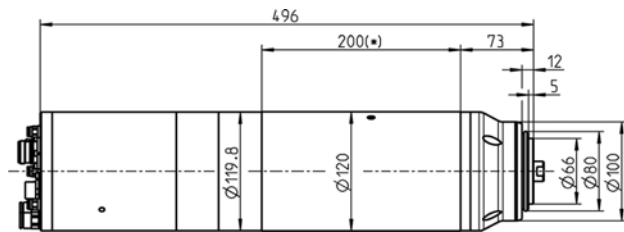
Valori di potenza

Raffreddato a liquid

| | Pmax./5s | S6-60% | S1-100% | |
|------------------|----------|--------|---------|------|
| Potenza nominale | 26 | 20 | 18 | [kW] |
| Coppia | 21,4 | 15,5 | 13,6 | [Nm] |
| Tensione | 380 | 380 | 380 | [V] |
| Corrente | 55 | 43,8 | 39,7 | [A] |

Z120-H824.11 S11W2V

Cambio pneumatico del cono
 Articolo **10408024**



Misurazione

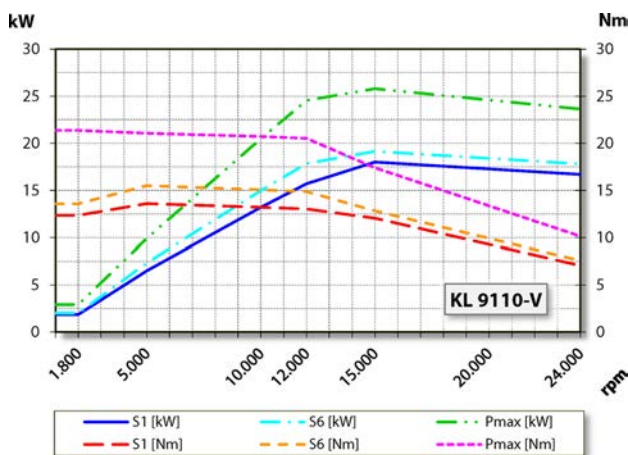


Diagramma di potenza

Raffreddato a liquid

La potenza è stata determinata su un banco prova motori proprio.

Caratteristiche

| | |
|--|--|
| Trasmettitore numero di giri | Regolazione vettoriale |
| Ruota dentata di misurazione | denti = 256 modulo = 0,3 |
| Salvamotore | PTC 130° C Pt1000 |
| Carcassa | Acciaio inox |
| Diametro della carcassa | 120 mm |
| Raffreddamento | raffreddato a liquido |
| Temperatura ambiente di funzionamento | + 10° C ... + 45° C |
| Barriera pneumatica | |
| Grado di protezione (barriera pneumatica inserita) | IP54 |
| Pulizia del cono | |
| Cambio utensile | Cambio pneumatico del cono |
| Portautensili | HSK-E 50 + HSK-F 63 |
| Monitoraggio del cono utensile | induttivo |
| 3 posizioni | serrato, sbloccato, espulso |
| Campo di serraggio max. | 20 mm |
| Corsa destra e corsa sinistrorsa | |
| | a 5 poli (ECTA 133) (Fasi del motore) |
| Connettore | a 12 poli (ECTA 133) + 17 poli (Tecnologia a sensori) |
| Peso | ~ 27 kg |
| Concentricità cono interno | < 1 μ |
| Oscillazione assiale | < 1 μ |